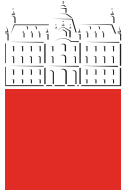


7.3 Merjenje upornosti

Meritve upornosti $R = \frac{u(t)}{i(t)}$ praviloma izvajamo:

- pri **enosmernem** (konstantnem) toku in napetosti,
 - če nas zanima realna komponenta upora,
- pri **sinusnem** toku in napetosti,
 - če želimo določiti še **kapacitivnost** in **induktivnost** upora.





Pri merjenju se **električna energija** ($u_R \cdot i_R$) pretvori v **toploto**
→ **spremeni se upornost**

- sistematični vpliv

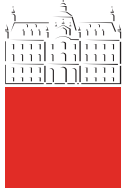
- pri **bakru** in ostalih kovinah je temperaturni koeficient:

ca. $+0,4\%/\text{K}$

- zlitina **manganin** ima temperaturni koeficient zelo majhen:

ca. $+10^{-5}/\text{K}$



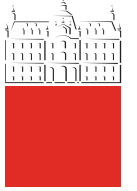


Upornost je lahko **odvisna od**:

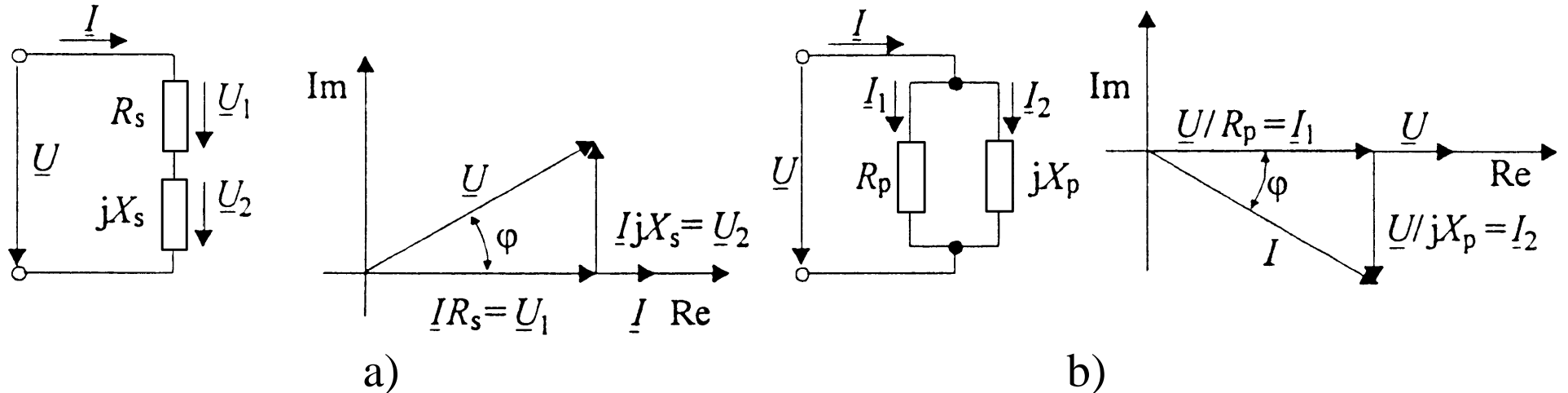
- **napetosti** (varistor),
- **zunanje temperature** (termistor),
- **osvetljenosti** (fotoupor),
- **magnetne indukcije** (uporovna magnetna sonda),
- **frekvence** (kožni pojav),
- **specifične upornosti** (materialna lastnost),
- **dimenzij** itn.

Kadar ima upornost tudi **elektrolitičen značaj** (upornost tekočin, ozemljitvene upornosti itn.), jo merimo z **izmeničnim sinusnim tokom** (polarizacija elektrod).





Upornost sestavlja:
 • realna ohmska komponenta,
 • in jalova upornost ali reaktanca.



Slika 7.30 Nadomestni vezji pasivnega dvopola

Realno in imaginarno upornost povežemo v:

- **zaporedno** nadomestno vezavo (a):

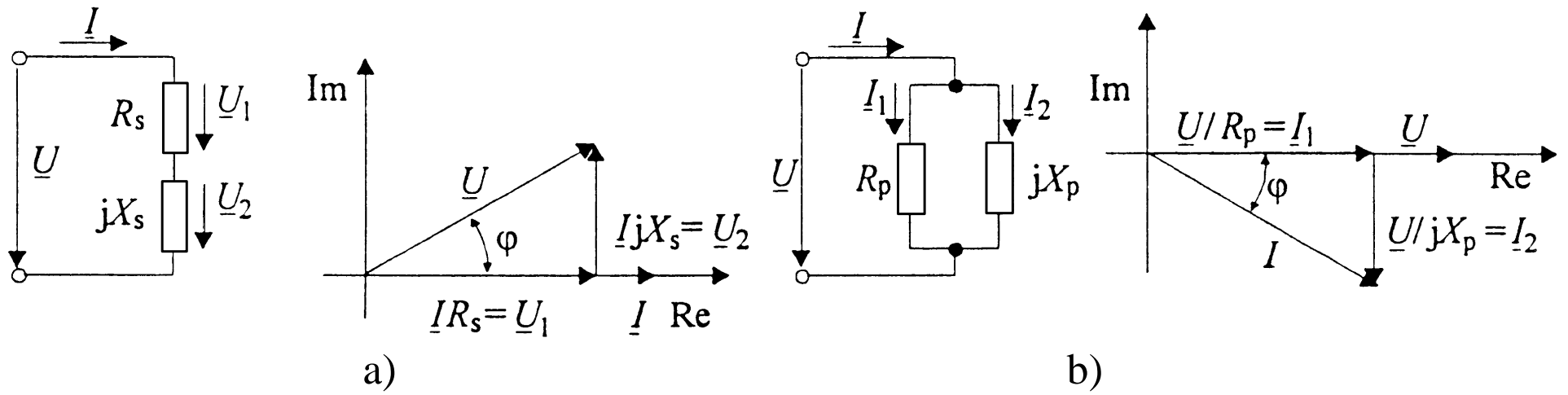
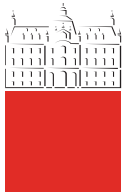
$$U_1 = U \cos \varphi = IR_s \Rightarrow R_s = \frac{U \cos \varphi}{I}$$

- razmerje **delovne komponente** napetosti in toka.

- **vzporedno** nadomestno vezavo (b):

$$I_1 = I \cos \varphi = U/R_p \Rightarrow R_p = \frac{U}{I \cos \varphi}$$





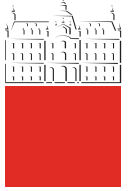
Slika 7.30 Nadomestni vezji pasivnega dvopola

Preko moči:

$$\text{a)} \quad R_s = \frac{U \cos \varphi}{I} \cdot \frac{I}{I} = \frac{P}{I^2}$$

$$\text{b)} \quad R_p = \frac{U}{I \cos \varphi} \cdot \frac{U}{U} = \frac{U^2}{P}$$

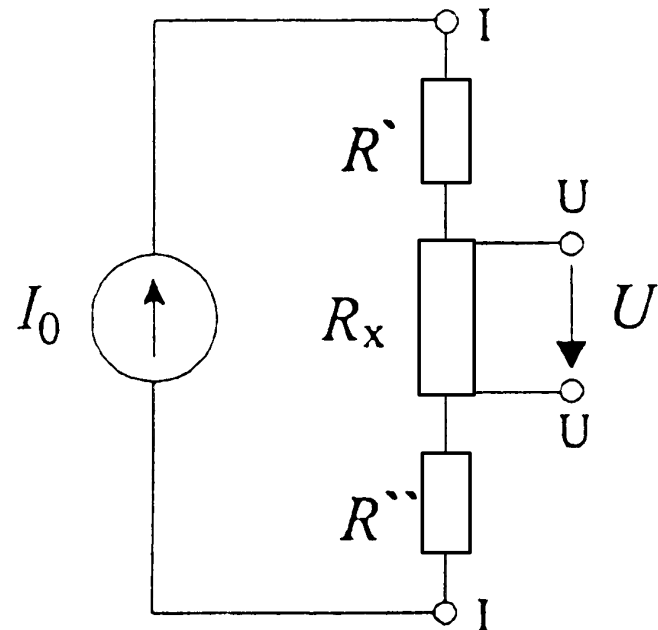




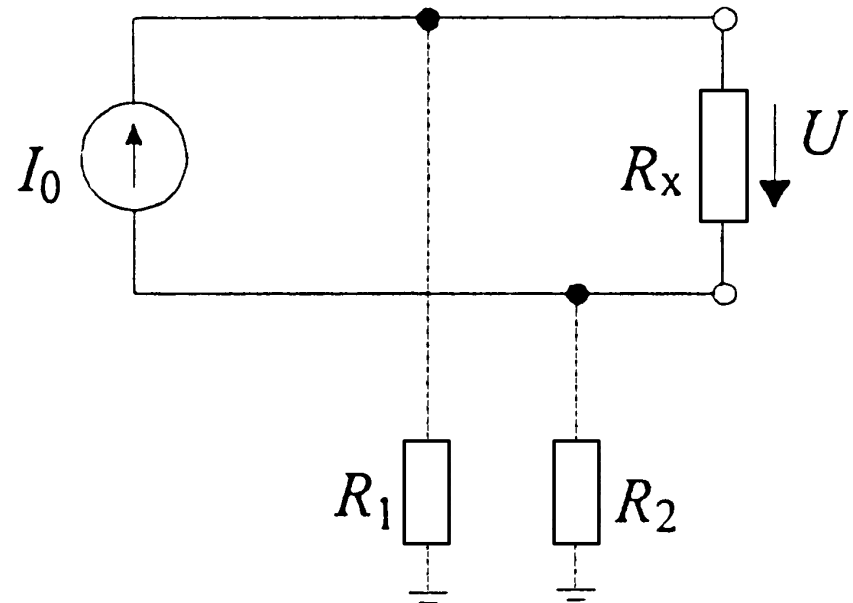
Pri merjenju (**majhnih!**) upornosti moramo biti pozorni na **upornost priključkov**:

- priključni vodniki,
- prehodne upornosti stikov.

- Uporabljamo **tokovne in napetostne sponke**.
 - če ne uporabimo napetostnih sponk: $R_x + R' + R''$



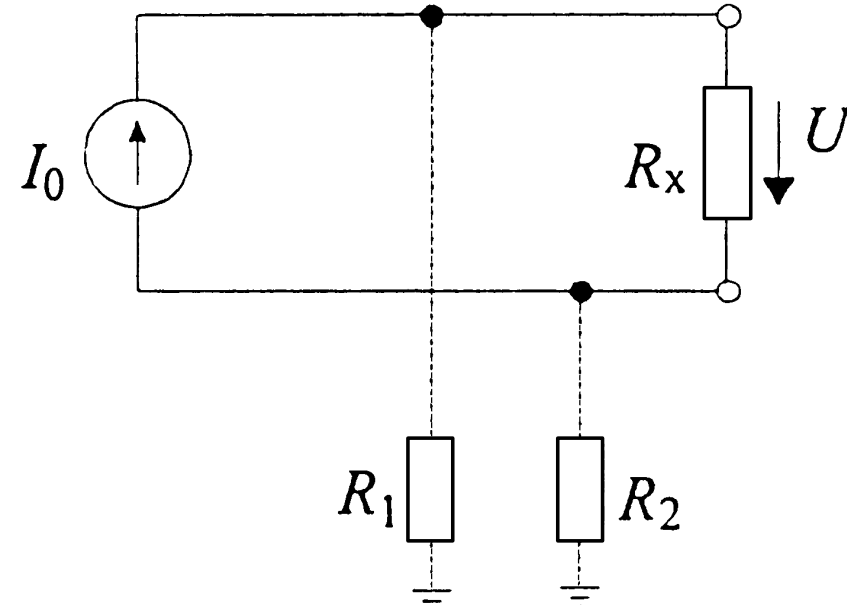
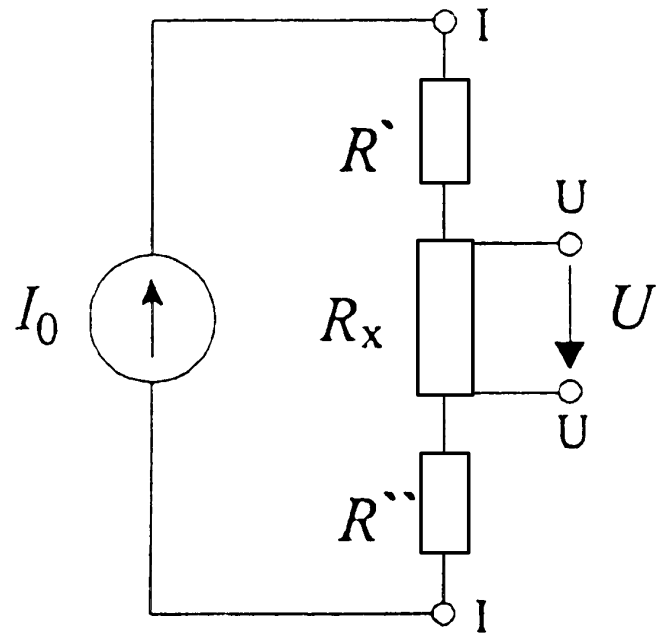
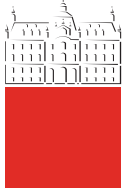
a)



b)

Slika 7.31 Posebnosti pri merjenju majhnih in velikih upornosti

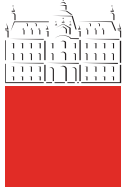




Pri merjenju **velikih upornosti** moramo imeti dobro **galvansko ločitev od okolice** (zemlje).

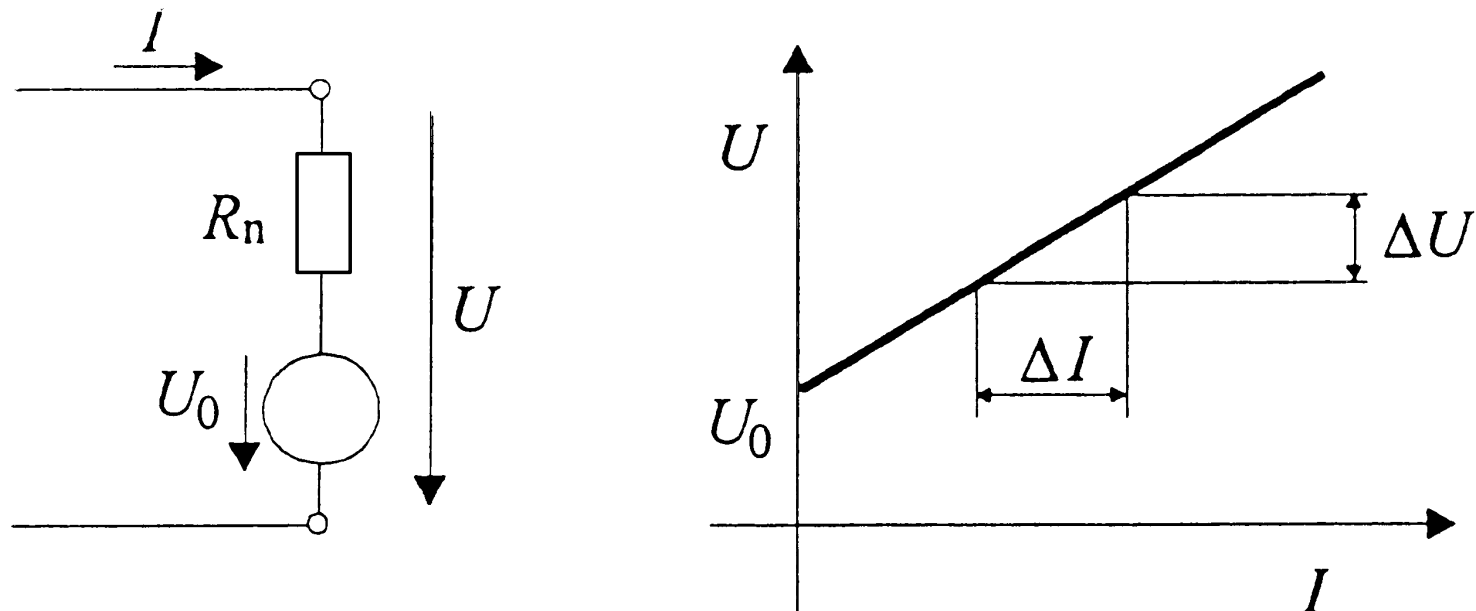
- velika izolacijska upornost $R_1, R_2 \gg 1$,
 - izolacijska upornost $R_1 + R_2$ je vezana vzporedno k merjeni R_x .





Notranja upornost aktivnega dvopola je razmerje med:

- spremembo napetosti na sponkah,
- in pripadajočo spremembo toka.

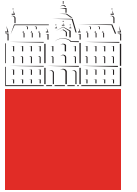


Slika 7.32 Notranja upornost aktivnega dvopola

Za aktivni dvopol velja: $U = U_0 + IR_n \Rightarrow dU = R_n dI$

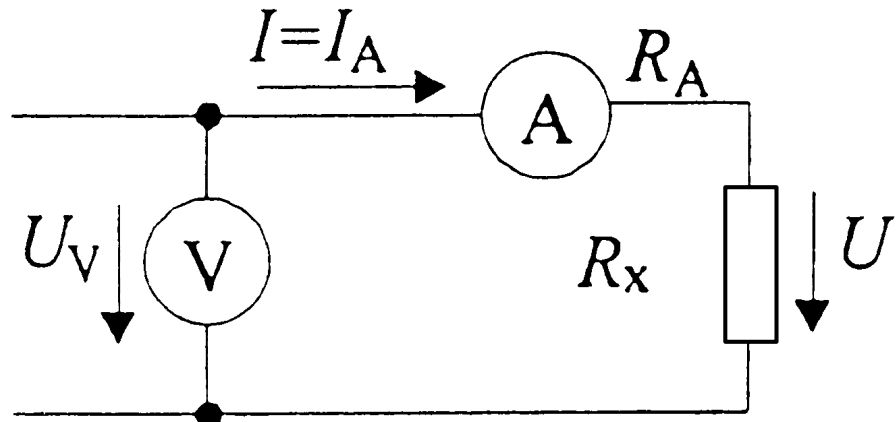
Notranja upornost: $R_n = \frac{\Delta U}{\Delta I}$



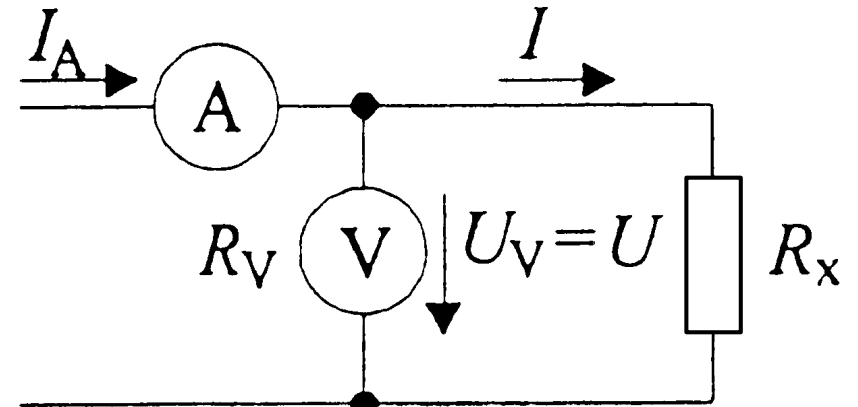


Metod za merjenje uporonosti je veliko (mostična, U-I , ...)

U-I metoda merjenja upornosti



a)



b)

Slika 7.33 *U-I* metoda merjenja upornosti

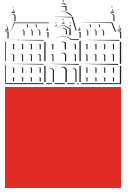
Varianta a:

- tok je pravilen: $I_A = I$,
- napetost je prevelika: $U_V = U + IR_A$

Razmerje je **večje** kot R_x :

$$\frac{U_V}{I_A} = \frac{U + IR_A}{I} = R_x + R_A$$





$$\frac{U_V}{I_A} = \frac{U + IR_A}{I} = R_x + R_A$$

- če upoštevamo samo U_V in I_A , je **sistematični pogrešek**:

$$R_i = \frac{U_V}{I_A} \Rightarrow e = \frac{U_V/I_A - R_x}{R_x} = \frac{R_A}{R_x}$$

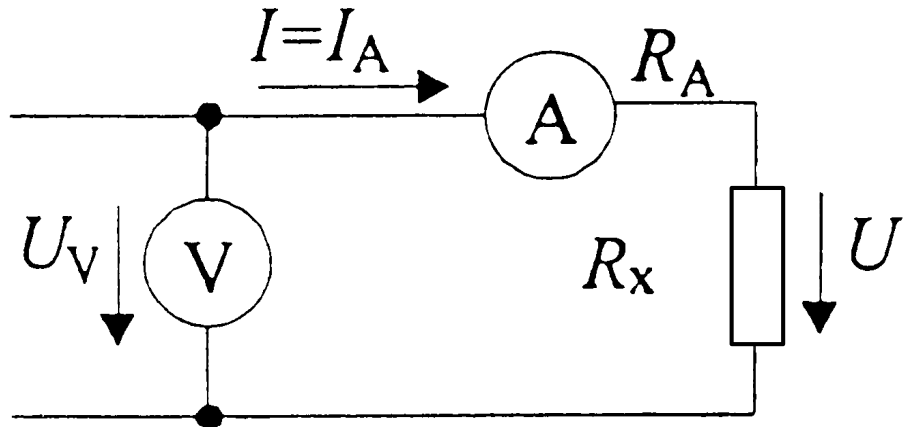
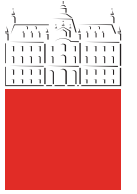
Ta metoda se uporablja **za merjenje velikih upornosti**,

- pogrešek (R_A) je zanemarljiv.

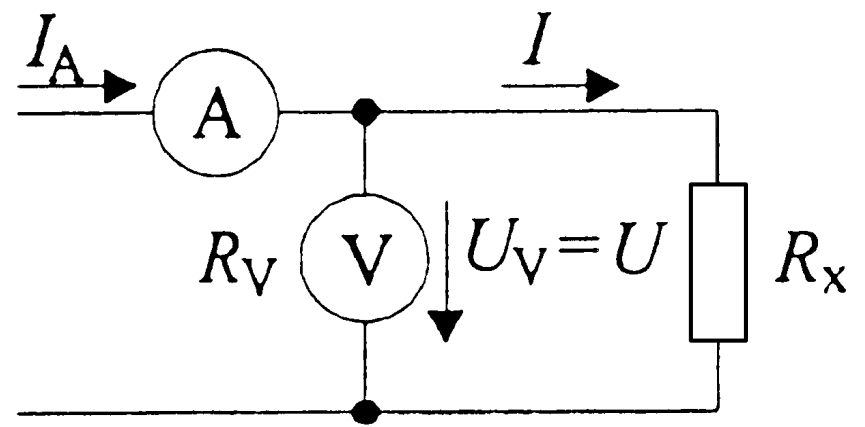
Pri **zelo velikih upornostih** moramo upoštevati **dopustno obremenitev** $I^2 R_x$.

Merilna negotovost je odvisna od negotovosti pri merjenju napetosti in toka.





a)



b)

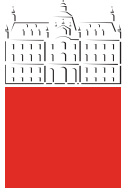
Slika 7.33 U - I metoda merjenja upornosti

Varianta b:

- napetost je pravilna: $U_V = U$,
- tok je prevelik: $I_A = I + U_V / R_V$,

Razmerje je **manjše** kot R_x : $\frac{U_V}{I_A} = \frac{R_x R_V}{R_x + R_V}$





$$\frac{U_V}{I_A} = \frac{R_x R_V}{R_x + R_V}$$

- če upoštevamo samo U_V in I_A , je **sistematični pogrešek**:

$$R_i = \frac{U_V}{I_A} \Rightarrow e = \frac{U_V/I_A - R_x}{R_x} = -\frac{R_x}{R_x + R_V} \approx -\frac{R_x}{R_V}$$

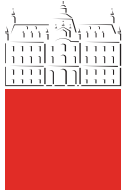
Ta metoda se uporablja **za merjenje majhnih upornosti**,

- upornost R_V je praviloma dosti večja od R_x .

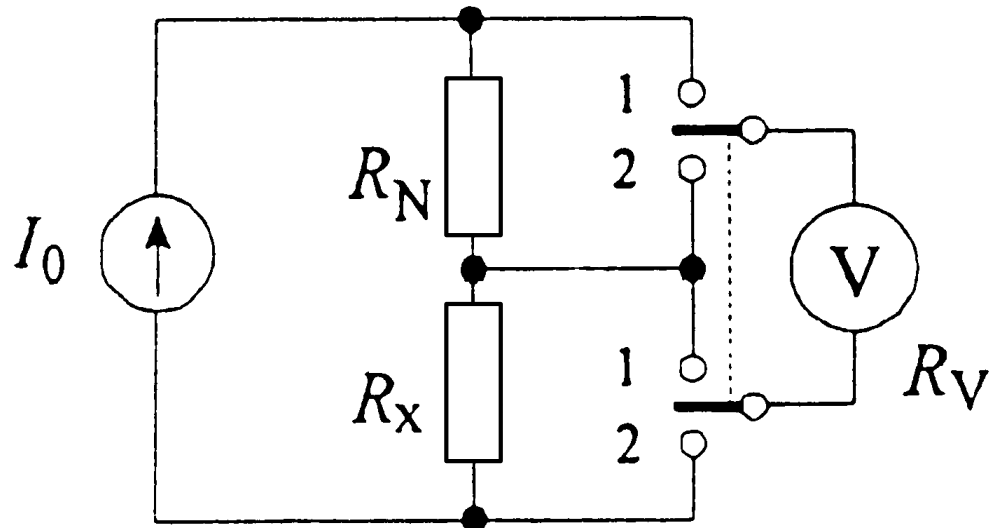
Pri **zelo majhnih upornostih** moramo upoštevati **dopustno obremenitev** U^2/R_x .

Merilna negotovost je odvisna od negotovosti pri merjenju napetosti in toka.

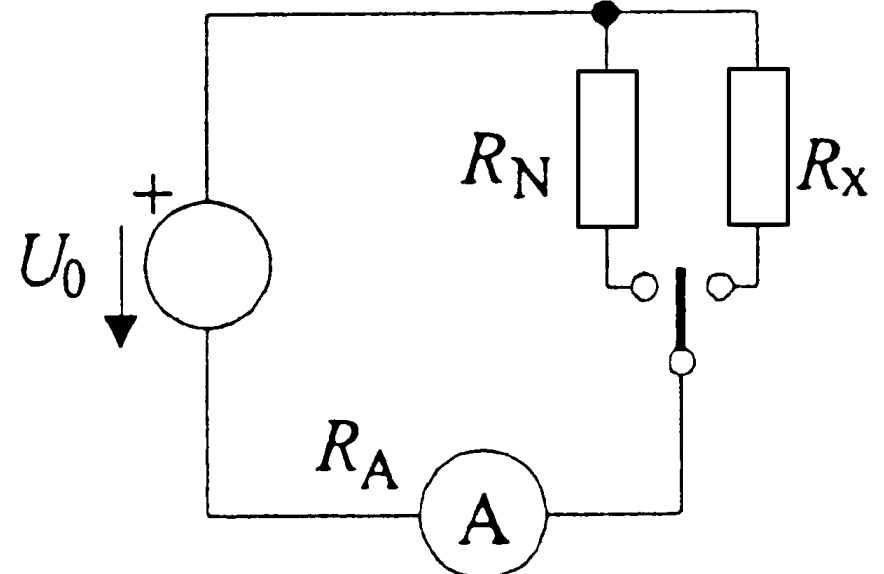




Primerjalna metoda



a)



b)

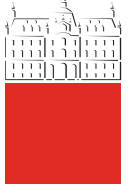
Slika 7.34 Napetostna in tokovna primerjalna metoda

Napetostna primerjalna metoda (a)

- Položaj 1-1: $U_N = I_0 \frac{R_N R_V}{R_N + R_V}$,

- Položaj 2-2: $U_x = I_0 \frac{R_x R_V}{R_x + R_V}$.





Pri konstantnem I_0 : $R_x = R_N \frac{U_x}{U_N} \cdot \frac{1}{1 + (1 - U_x/U_N) R_N / R_V}$

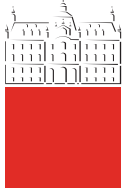
Če uporabimo izraz $R_i = R_N \frac{U_x}{U_N}$, ‘pridelamo’ sistematični pogrešek:

$$e = \frac{R_i - R_x}{R_x} \quad \text{oz.} \quad e = \frac{R_N}{R_V} \left(1 - \frac{U_x}{U_N} \right)$$

$$\text{oz.} \quad e = \frac{R_N - R_x}{R_x + R_V} = \frac{R_N - R_x}{R_V}$$

- odločilno je razmerje razlike upornosti $R_N - R_x$ proti upornosti voltmетra R_V .
 - primerna za merjenje majhnih upornosti.





Merilna negotovost napetostne primerjalne metode

Če izvedemo primerjavo z istim voltmetrom, lastni pogrešek E ne vpliva na negotovost, kadar sta upornosti (napetosti) blizu skupaj:

$$R_N \approx R_x \iff U_x/U_N - 1 \approx 0,01$$

Pogreška voltmeterja E ne poznamo, vendar se v kvocientu njegov vpliv izloči:

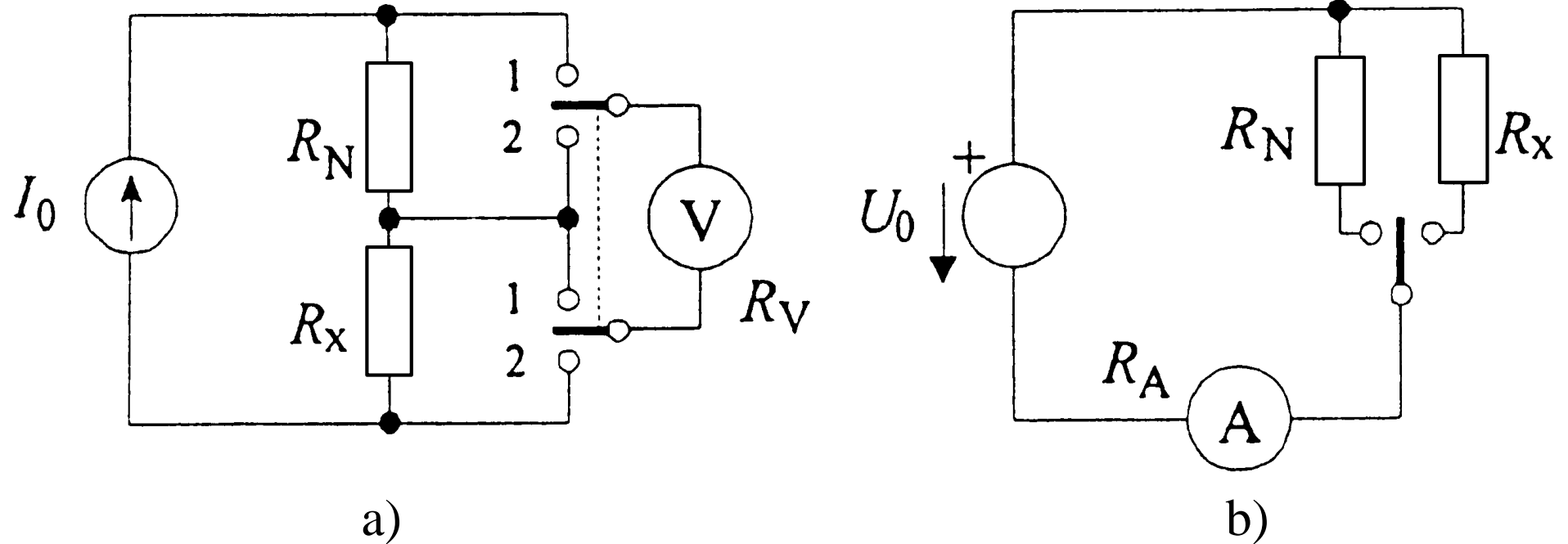
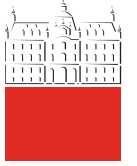
$$R_i = R_N \frac{U_x - E}{U_N - E} = R_N \frac{U_x}{U_N} \cdot \frac{1 - E/U_x}{1 - E/U_N} \approx R_N \frac{U_x}{U_N}$$

Primer: $U_x = 1,025\text{V}$ in $U_N = 1,018\text{V}$, $E = 0,015\text{V}$

$$\frac{U_x - E}{U_N - E} = \frac{1,025\text{V} - 0,015\text{V}}{1,018\text{V} - 0,015\text{V}} = 1,0070$$

$$\frac{U_x}{U_N} = \frac{1,025\text{V}}{1,018\text{V}} = 1,0069 \quad \text{- samo za } 0,01\% \text{ manj!} \iff e = 1,5\%$$



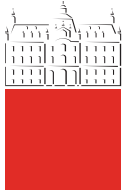


Slika 7.34 Napetostna in tokovna primerjalna metoda

Tokovna primerjalna metoda (b)

- čez upor R_N teče tok: $I_N = \frac{U_0}{R_N + R_A}$
- čez upor R_x teče tok: $I_x = \frac{U_0}{R_x + R_A}$





Pri konstantni napetosti U_0 : $R_x = R_N \frac{I_N}{I_x} \left[1 + \frac{R_A}{R_N} \left(1 - \frac{I_x}{I_N} \right) \right]$

Če uporabimo izraz: $R_i = R_N \frac{I_N}{I_x}$,

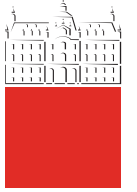
- ‘pridelamo’ istematični pogrešek:

$$e = \frac{G_x - G_N}{G_A + G_N} \approx \frac{G_x - G_N}{G_A}$$

Primerjanje je tem bolj točno, čim bliže sta si merjeni veličini!

Če je etalon R_N spremenljiv in vzpostavimo $I_x = I_N$, se metoda spremeni **zamenjalno** (R_A nepomembna)!

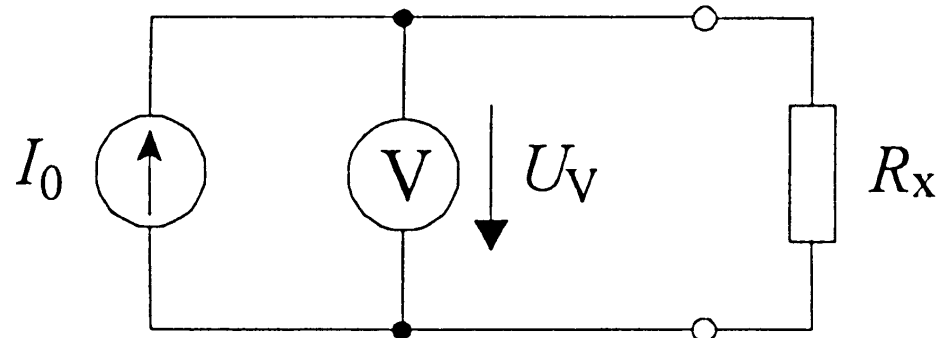




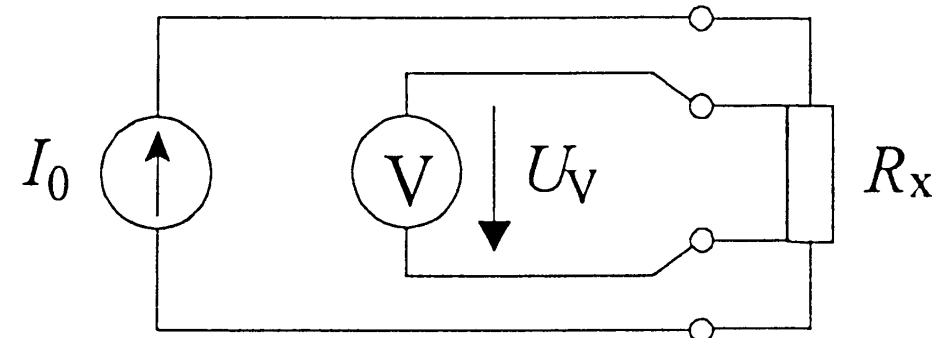
Merjenje upornosti z voltmetrom in tokovnim virom

Uporablja se pri digitalnih multimetrih ($R_V > R_x$):

$$U_V = I_0 \frac{R_x R_V}{R_x + R_V} = I_0 R_x \frac{1}{1 + R_x/R_V} \approx I_0 R_x$$



a)



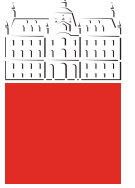
b)

Slika 7.35 Dvovodna in štirivodna priključitev ohmometra s tokovnim virom

Območje ohmetra se spreminja s tokom I_0 :

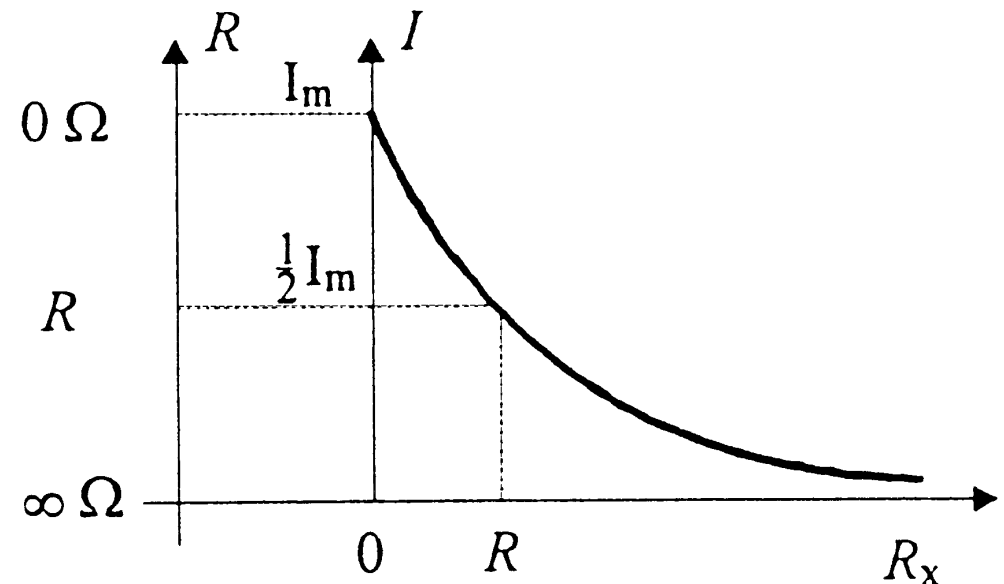
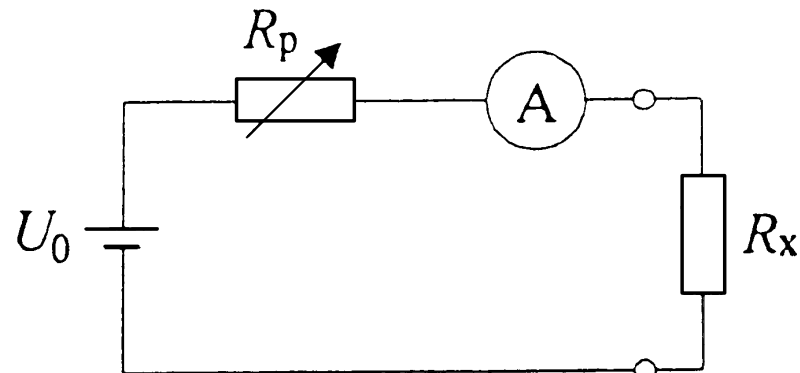
- npr.: meritno območje voltmetra je $(0 \div 200)\text{mV}$;
 - pri $I_0 = 1\mu\text{A}$ je meritno območje $(0 \div 200)\text{k}\Omega$,
 - pri $I_0 = 10\mu\text{A}$ je meritno območje $(0 \div 20)\text{k}\Omega$,



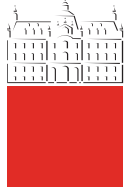
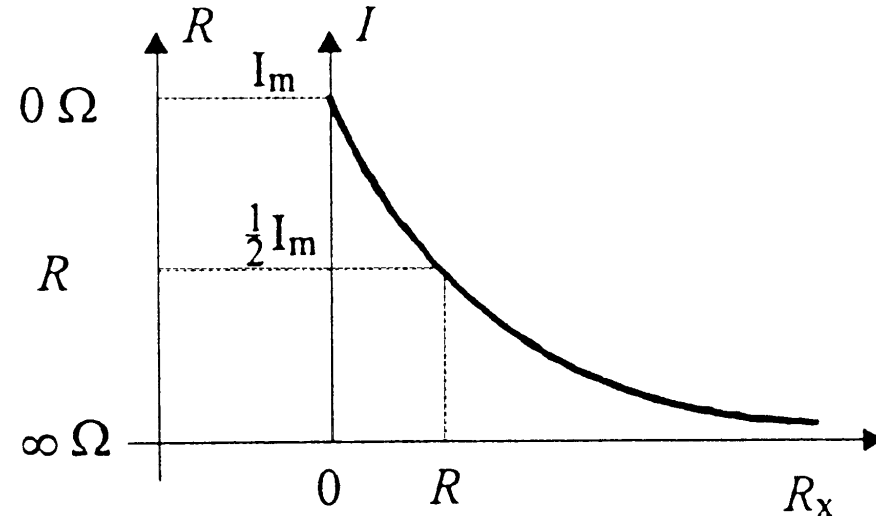
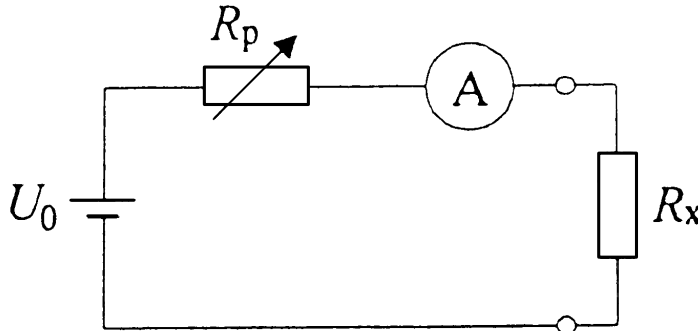


Klasični instrumenti z vrtljivo tuljavico ima namesto tokovnega vira galvanski člen.

- pri **majhnih upornostih** je instrument vezan **kot voltmeter**,
- pri **velikih upornostih** je instrument vezan **kot ampermeter**.



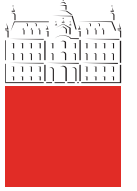
Slika 7.36 Ohmmeter za merjenje večjih upornosti



Ker napetost U_0 ni stalna, moramo ohmmeter pred meritvijo nastaviti:

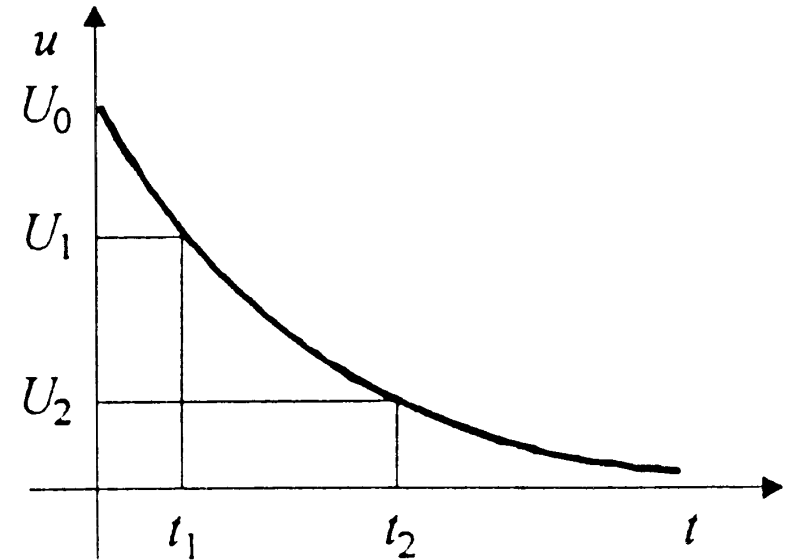
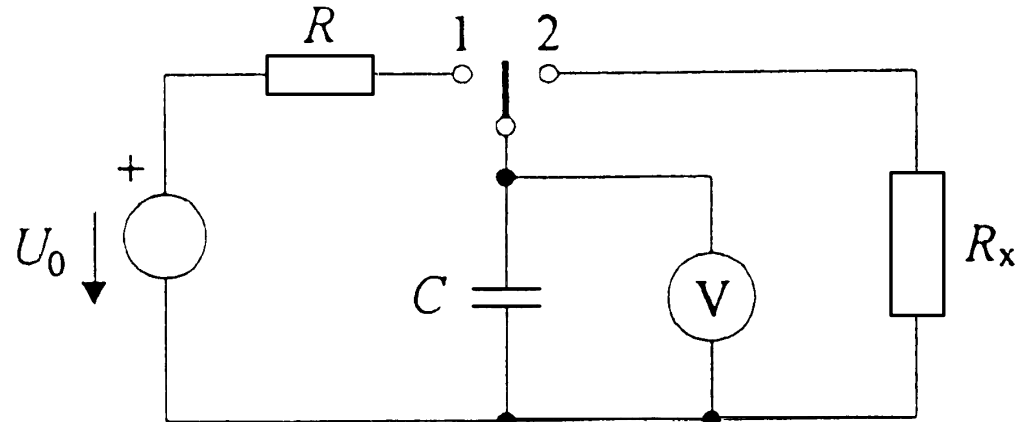
- sponke kratko **sklenemo** ($R_x = 0\Omega$) in
 - nastavimo maksimalni tok I_m z R_p , \Rightarrow oznaka 0Ω .
- sponke **razklenemo**, \Rightarrow oznaka $\infty\Omega$.
- če priključimo **neznano upornost** R_x , steče tok: $I = \frac{U_0}{R + R_x}$
- skala je **hiperbolična**.





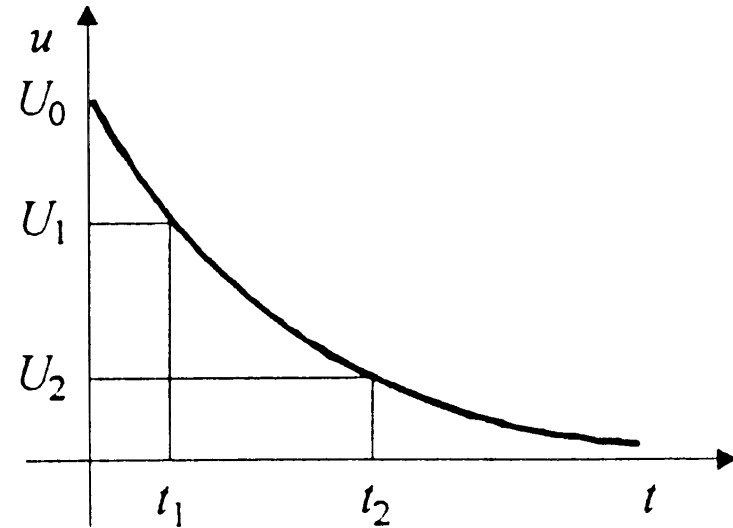
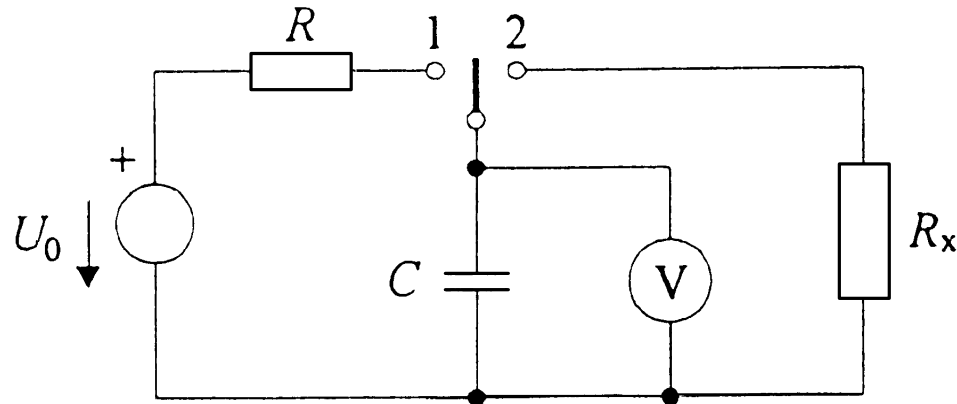
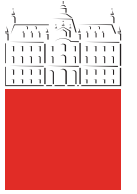
Metoda praznenja kondenzatorja

Primerna za velike upornosti.



Slika 7.37 Metoda praznenja kondenzatorja

- položaj 1: kondenzator se **nabije** na napetost U_0 .
- položaj 2: kondenzator se **začne prazniti** pretežno preko R_x (izolacijska upornost in R_V zelo veliki).
 - v času t_1 : $U_1 = U_0 e^{-t_1/R_x C}$;
 - v času t_2 : $U_2 = U_0 e^{-t_2/R_x C}$



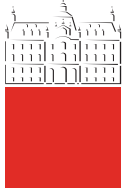
Neznana upornost je: $R_x = \frac{t_2 - t_1}{C \ln U_1/U_2} \quad \Leftarrow \quad U_1 = U_0 e^{-t_1/R_x C}$

$U_2 = U_0 e^{-t_2/R_x C}$

Če izolacijske upornosti in R_v ne moremo zanemariti:

- prva meritev brez R_x : $R_1 = R_i \| R_v$,
- druga meritev z R_x : $R_2 = R_1 \| R_x$,
- **neznana upornost je:** $R_x = \frac{R_1 R_2}{R_1 - R_2}$.

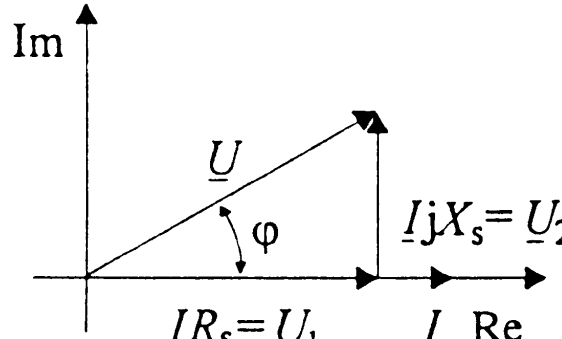
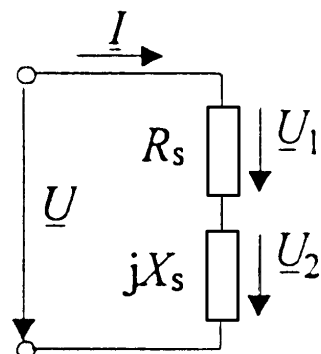




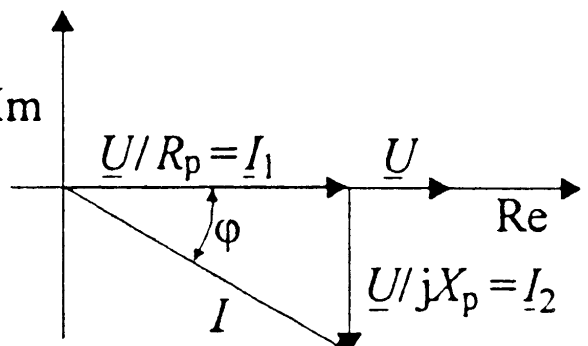
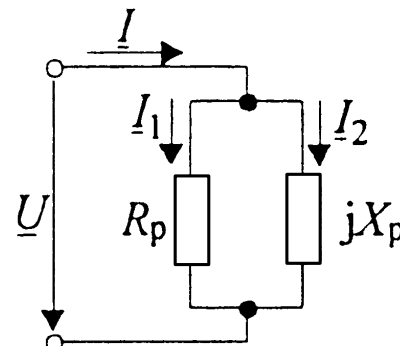
7.4 Merjenje induktivnosti

Induktivnost (idealne tuljave) je **razmerje med napetostjo in časovnim odvodom toka**.

- Meritve izvajamo **pri sinusni obliki** toka.
- Določimo jo **iz reaktance**, ker je realno vedno prisotna še ohmska upornost.



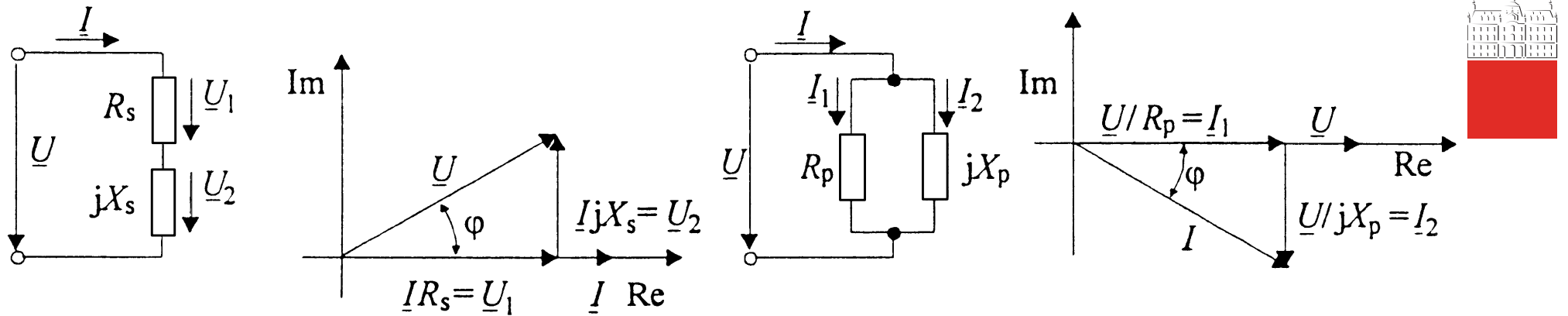
a)



b)

Slika 7.30 Nadomestni vezji pasivnega dvopola





Serijsko nadomestno vezje (a):

$$U_2 = U \sin \varphi = IX_s = I\omega L_s \quad \Rightarrow \quad L_s = \frac{U \sin \varphi}{\omega I}$$

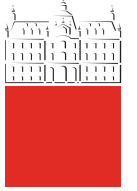
- izmerimo **jalovo komponento napetosti**, tok in frekvenco.

Paralelno nadomestno vezje (b):

$$I_2 = I \sin \varphi = \frac{U}{X_p} = \frac{U}{\omega L_p} \quad \Rightarrow \quad L_p = \frac{U}{\omega I \sin \varphi}$$

- izmerimo napetost, **jalovo komponento toka** in frekvenco.





Merjenje preko moči:

Iz **zaporedne** nadomestne vezave z $L_s = \frac{U \sin \varphi}{\omega I}$ dobimo:

$$L_s = \frac{U \sin \varphi}{\omega I} \cdot \frac{I}{I} = \frac{Q}{\omega I^2} = \frac{\sqrt{(UI)^2 - P^2}}{\omega I^2}$$

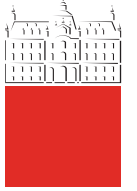
- izmerimo **jalovo moč**, tok in frekvenco,
- izmerimo **delovno moč**, tok, napetost in frekvenco,

Iz **vzporedne** nadomestne vezave z $L_p = \frac{U}{\omega I \sin \varphi}$ dobimo:

$$L_p = \frac{U}{\omega I \sin \varphi} \cdot \frac{U}{U} = \frac{U^2}{\omega Q} = \frac{U^2}{\omega \sqrt{(UI)^2 - P^2}}$$

- izmerimo **jalovo moč**, napetost in frekvenco,
- izmerimo **delovno moč**, tok, napetost in frekvenco,





Če poznamo upornost pri **serijski vezavi**:

$$L_s = \frac{1}{\omega} \sqrt{\left(\frac{U}{I}\right)^2 - \left(\frac{P}{I^2}\right)^2} = \frac{1}{\omega} \sqrt{\left(\frac{U}{I}\right)^2 - R_s^2}$$

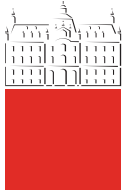
- izmerimo neposredno **napetost, tok, frekvenco,**
- R_s zmerimo **po U-I metodi, če ni feromagnetnega jedra.**

V praksi prevladuje **serijsko nadomestno vezje**.

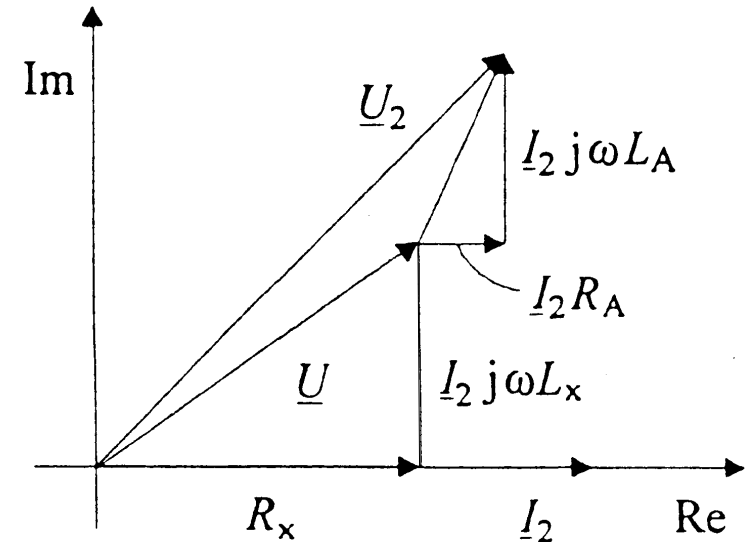
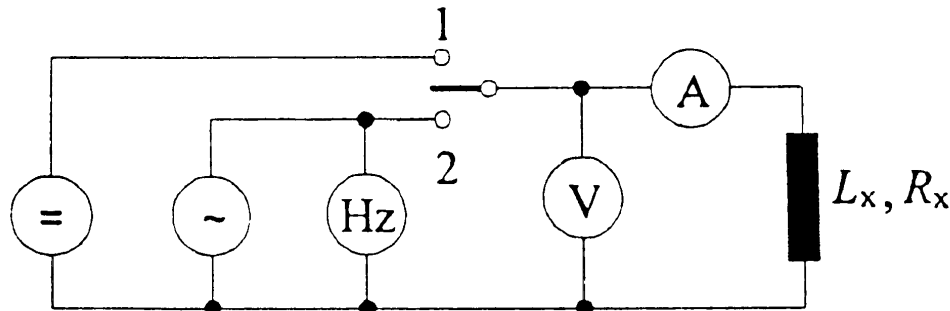
Faktor kvalitete Q tuljave je razmerje jalove moči z delovno.

- **serijsko** nadomestno vezje:
$$Q = \frac{I^2 \omega L_s}{I^2 R_s} = \frac{\omega L_s}{R_s}$$
- **paralelno** nadomestno vezje:
$$Q = \frac{U^2 / \omega L_p}{U^2 / R_p} = \frac{R_p}{\omega L_p}$$





***U-I* metoda merjenja induktivnosti brez feromagnetnega jedra**



Slika 7.38 *U-I* metoda merjenja induktivnosti

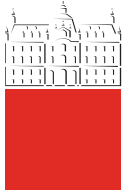
- v položaju 1 merimo z **enosmernim virom** → U_1, I_1 :

$$\frac{U_1}{I_1} = R_x + R_A ,$$

- v položaju 2 merimo s **sinusnim virom** → U_2, I_2 :

$$\frac{U_2}{I_2} = (R_x + R_A) + j\omega(L_x + L_A)$$





$$\frac{U_1}{I_1} = R_x + R_A \quad \frac{U_2}{I_2} = (R_x + R_A) + j\omega(L_x + L_A)$$

Razmerje amplitud: $\frac{U_2}{I_2} = Z = \sqrt{(R_x + R_A)^2 + \omega^2(L_x + L_A)^2}$

Potrdimo enačbo $L_s = \frac{1}{\omega} \sqrt{\left(\frac{U}{I}\right)^2 - R_s^2}$:

$$L_x = \frac{1}{\omega} \sqrt{\left(\frac{U_2}{I_2}\right)^2 - \left(\frac{U_1}{I_1}\right)^2} - L_A$$

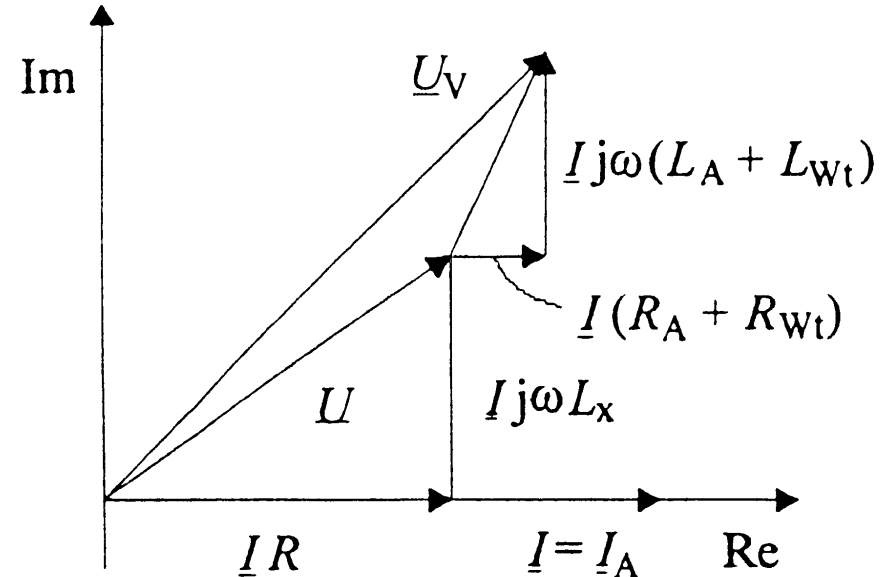
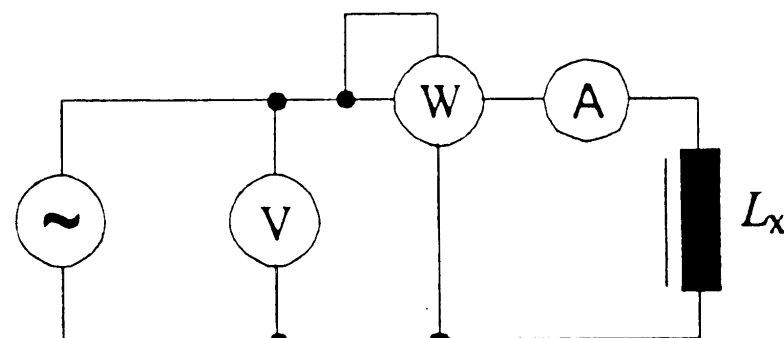
- induktivnost ampermetra L_A je ponavadi zanemarljiva
- če je $R_V \gg R_x$, priklopimo **voltmeter neposredno**.



P-U-I metoda merjenja induktivnosti s feromagnetnim jedrom

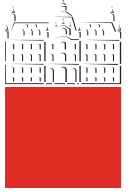
Del upornosti, ki ponazarja **izgube v feromagnetiku pri izmeničnem magnetenju**, merimo preko moči:

$$L_s = \frac{\sqrt{(UI)^2 - P^2}}{\omega I^2}$$



Slika 7.39 *P-U-I* metoda merjenja induktivnosti

$$L_x = \frac{\sqrt{(U_V I_A)^2 - P_w^2}}{\omega I_A^2} - (L_A + L_{Wt})$$



$$L_x = \frac{\sqrt{(U_v I_A)^2 - P_w^2}}{\omega I_A^2} - (L_A + L_{wt})$$

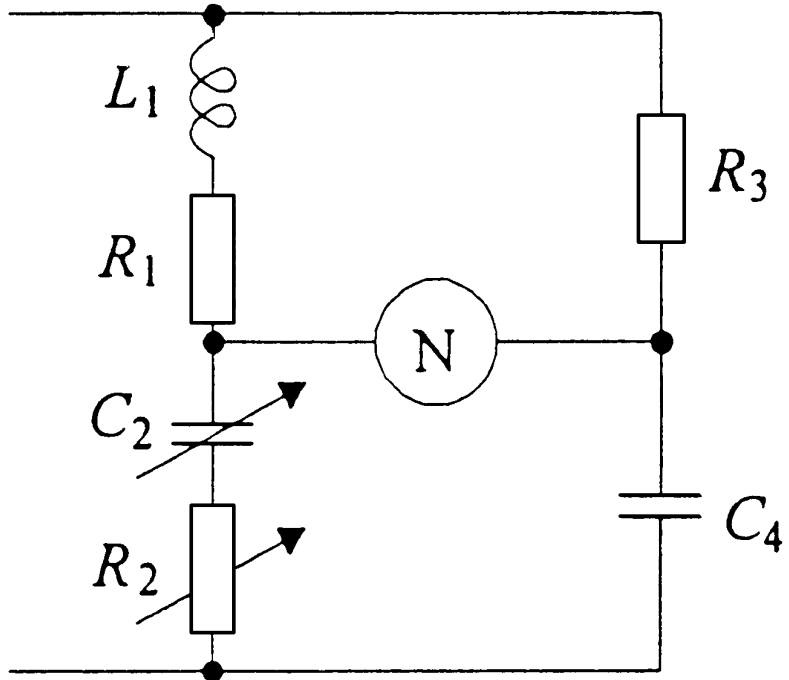
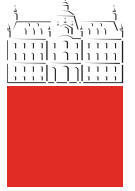
- $L_A + L_{wt}$ sta vezana zaporedno k L_x

Ker **permeabilnost ni stalna** (nelinearen odnos med B in H), je induktivnost tuljave **odvisna od vrednosti toka**.

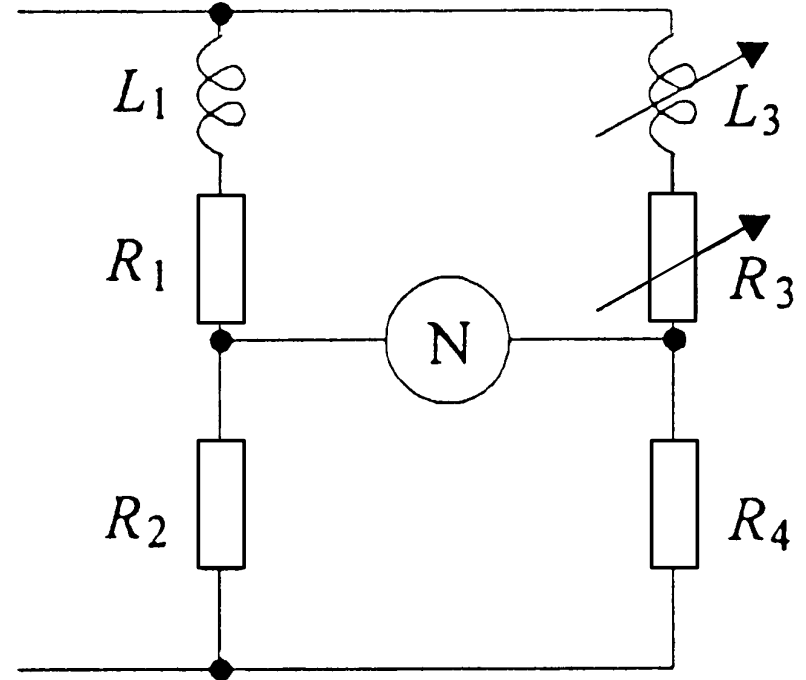
- Pri merjenju induktivnosti s **feromagnetnim** jedrom **moramo biti pozorni na obliko in velikost toka!**



Mostična merjenja induktivnosti



a)



b)

Slika 6.10 Ownov in Maxwellov mostič

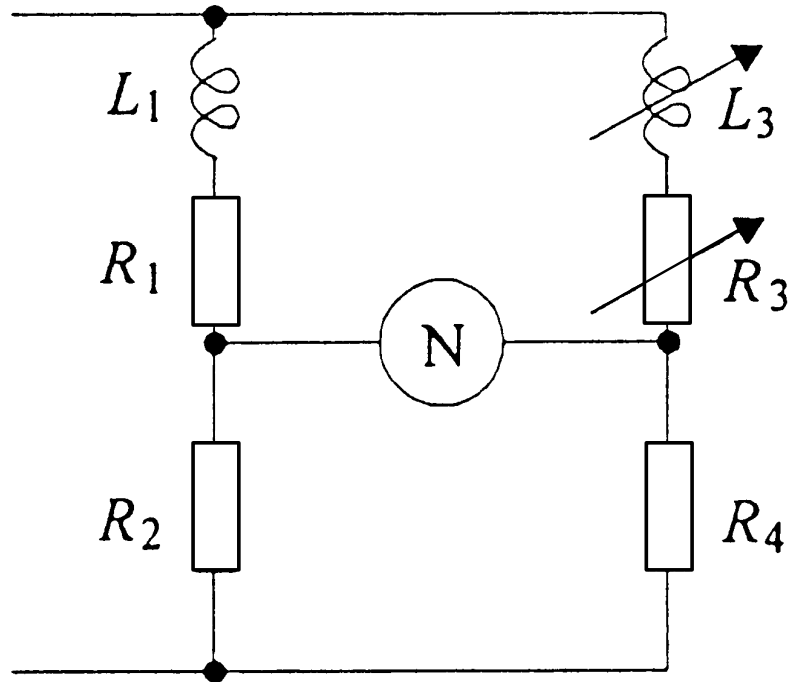
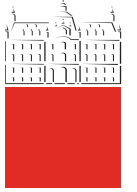
Ownov mostič (a): $Z_1 = R_x + j\omega L_x$

- ravnovesna enačba: $R_x + j\omega L_x = j\omega R_3 C_4 \left(R_2 + \frac{1}{j\omega C_2} \right)$

$$R_x = R_3 C_4 / C_2, \quad L_x = R_2 R_3 C_4,$$

$$Q = \omega R_2 C_2$$



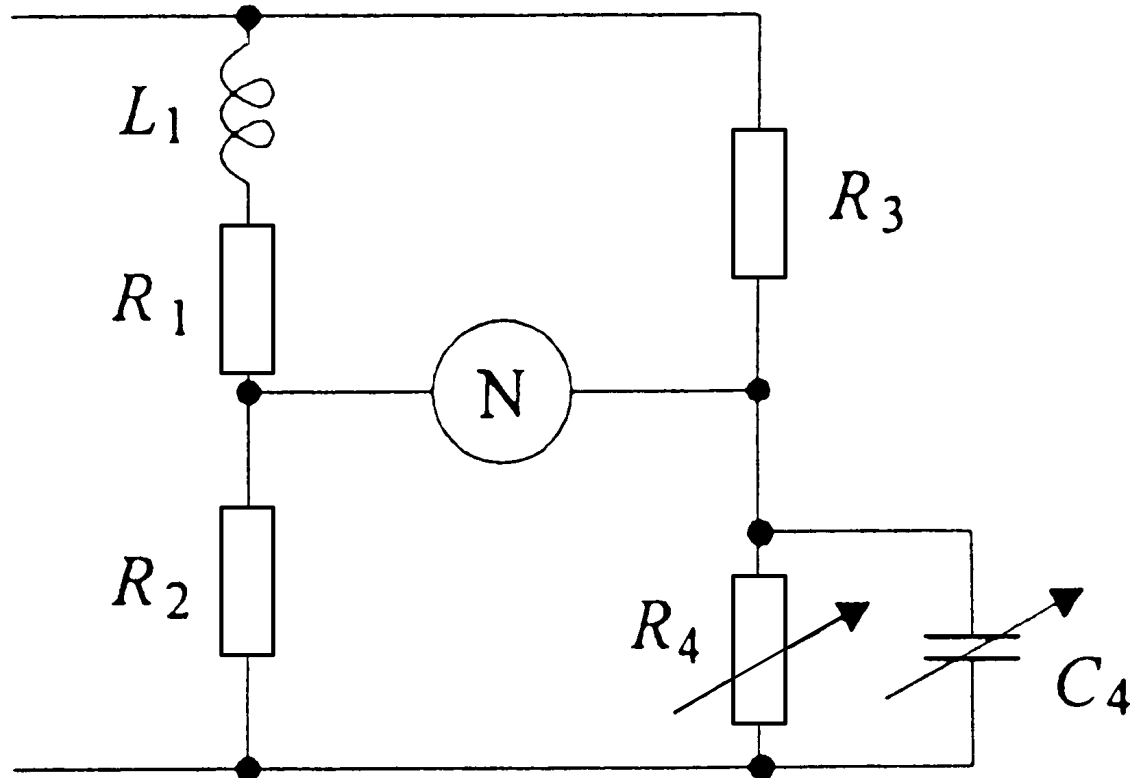
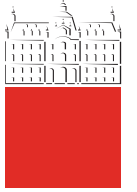


Maxwellov mostič (b): $Z_1 = R_x + j\omega L_x$

- ravnovesna enačba: $R_x + j\omega L_x = \frac{R_2}{R_4} (R_3 + j\omega L_3)$

$$R_x = R_2 R_3 / R_4, \quad L_x = L_3 R_2 / R_4, \quad Q = \omega L_3 / R_3$$





Slika 6.11 Maxwell-Wienov mostič

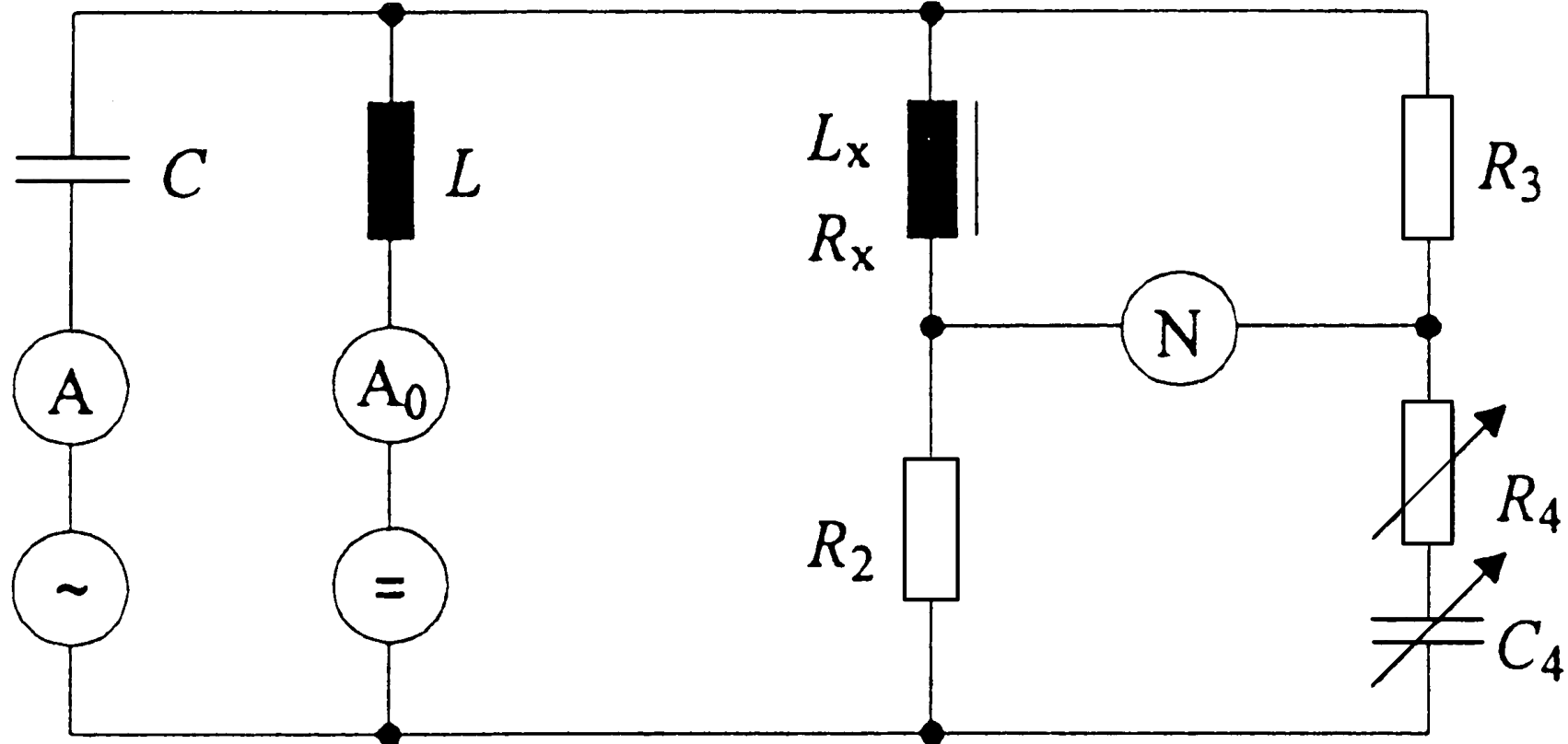
Maxwell-Wienov mostič: $Z_x = R_x + j\omega L_x$

- ravnovesna enačba: $R_x + j\omega L_x = R_2 R_3 (1/R_4 + j\omega C_4)$

$$R_x = R_2 R_3 / R_4, \quad L_x = R_2 R_3 C_4, \quad Q = \omega R_4 C_4$$



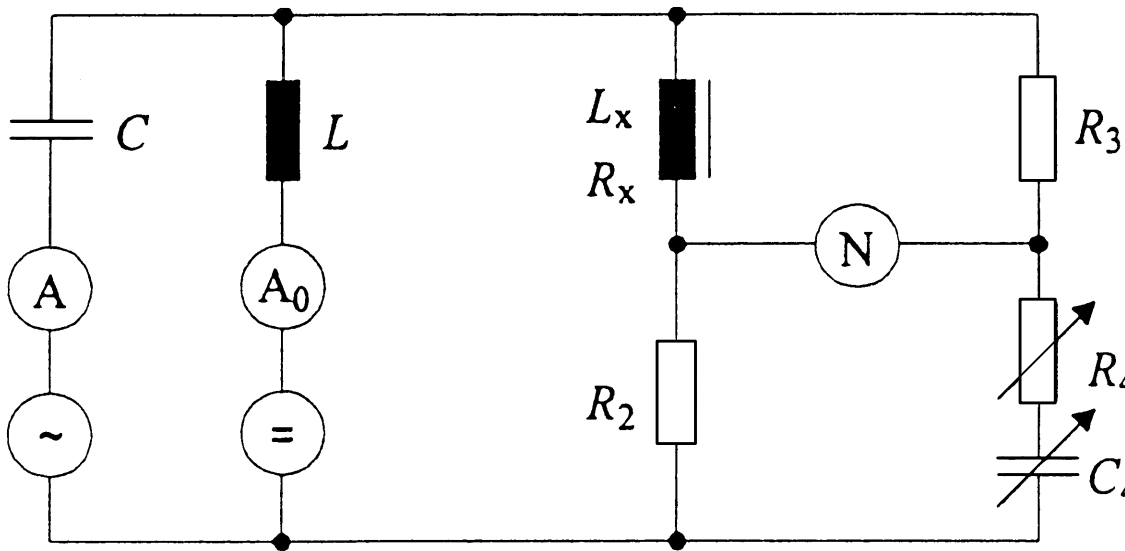
Hayev mostič se uporablja za merjenje induktivnosti s feromagnetskim jedrom pri pulzirajočem toku.



Slika 7.40 Hayev mostič za merjenje superpozicijske induktivnosti

Impedance v vejah mostiča: $Z_1 = R_x + j\omega L_x$, $Z_3 = R_3$

$$Z_2 = R_2, \quad Z_4 = R_4 + 1/j\omega C_4$$



Iz ravnovesne enačbe:

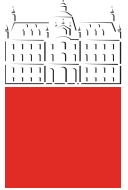
$$L_x = \frac{R_2 R_3 C_4}{1 + (\omega R_4 C_4)^2}, \quad R_x = \frac{R_2 R_3}{R_4} \frac{(\omega R_4 C_4)^2}{1 + (\omega R_4 C_4)^2}$$

- Hayev mostič je **frekvenčno odvisen**.

Če merimo induktivnosti z **velikim faktorjem kvalitete**
 $Q = \frac{\omega L_x}{R_x} = \frac{1}{\omega R_4 C_4}$, je induktivnost: $L_x = \frac{R_2 R_3 C_4}{1 + 1/Q^2} \approx R_2 R_3 C_4$

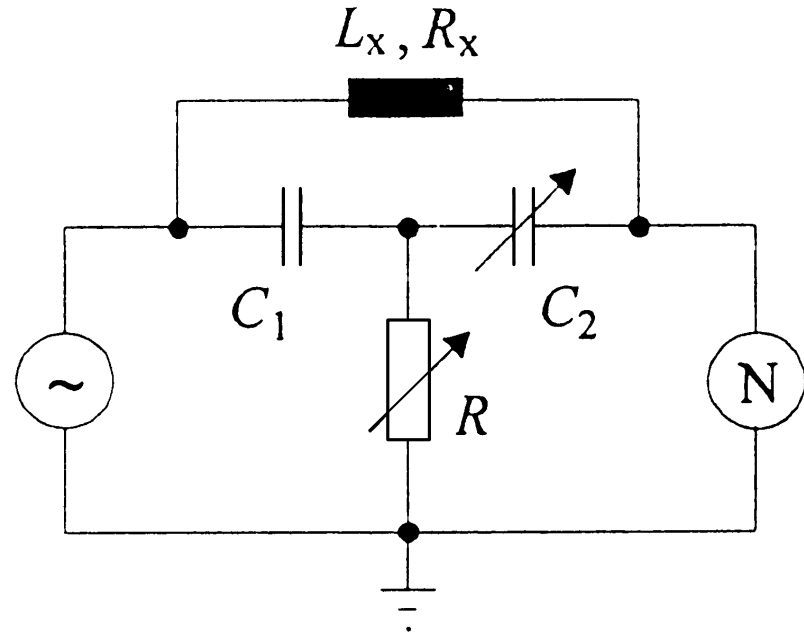
- v tem primeru nam frekvence ni potrebno upoštevati!



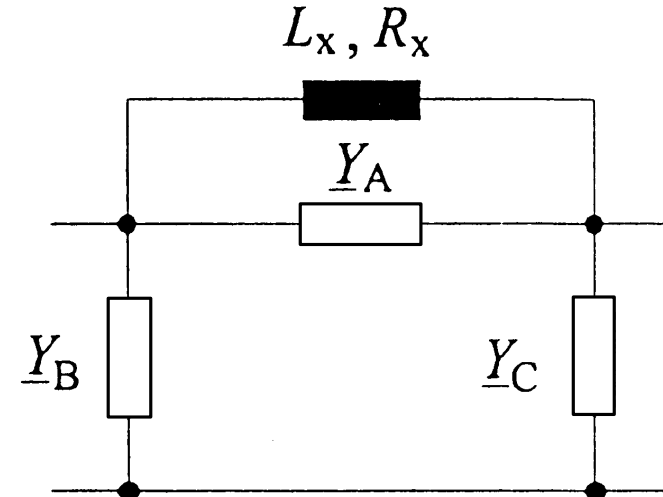


Premoščeno T-vezje

- ni problema ozemljenosti!



a)



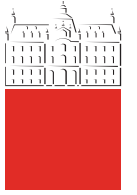
b)

Slika 7.41 Merjenje induktivnosti s premoščenim T-vezjem

Ničelni indikator bo ostal brez odklona, ko bo $\underline{Y}_A + \underline{Y}_x = 0$:

$$\frac{j\omega C_1 \cdot j\omega C_2}{j\omega C_1 + j\omega C_2 + 1/R} + \frac{1}{R_x + j\omega L_x} = 0$$





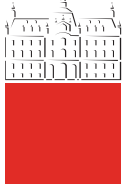
$$\frac{j\omega C_1 \cdot j\omega C_2}{j\omega C_1 + j\omega C_2 + 1/R} + \frac{1}{R_x + j\omega L_x} = 0$$

- od tod dobimo:

$$L_x = \frac{1}{\omega^2} \left(\frac{1}{C_1} + \frac{1}{C_2} \right), \quad R_x = \frac{1}{\omega^2 R C_1 C_2}, \quad Q = \omega R (C_1 + C_2)$$

- vpliv parazitnih kapacitivnosti je manjši,
- uporablja se v **radiofrekvenčnem območju**.





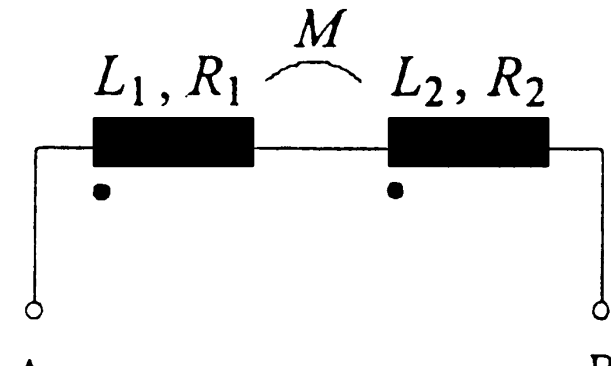
7.5 Merjenje medsebojne induktivnosti

Medsebojna induktivnost med dvema **magnetno sklopljenima** krogoma je **razmerje** med:

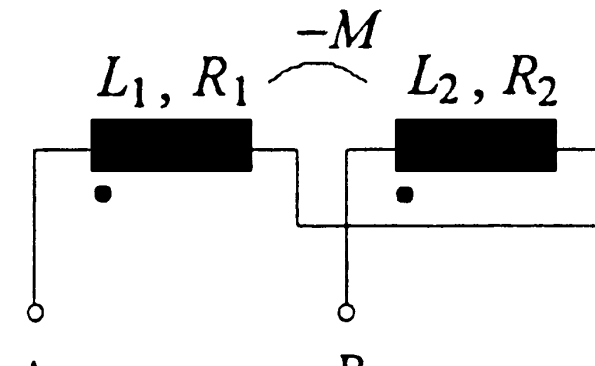
- **inducirano napetostjo** v enem krogu
- in **časovnim odvodom toka** v drugem krogu.

Magnetna pretoka se lahko **podpirata** $+M$ ali **nasprotujeta** $-M$:

- magnetna pretoka se podpirata (a): $L' = L_1 + L_2 + 2M$
- magnetna pretoka si nasprotujeta (b): $L'' = L_1 + L_2 - 2M$



a)



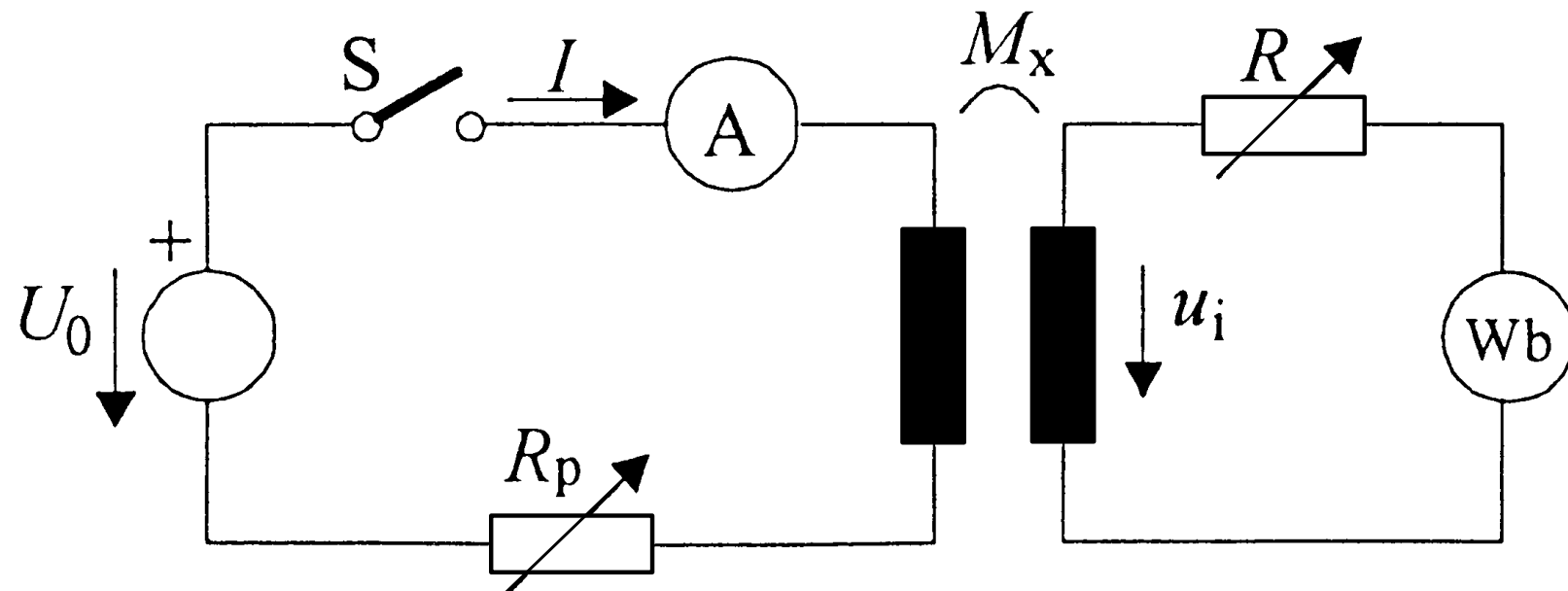
b)

L', L'' merimo na znan način in izračunamo: $M = (L' - L'')/4$



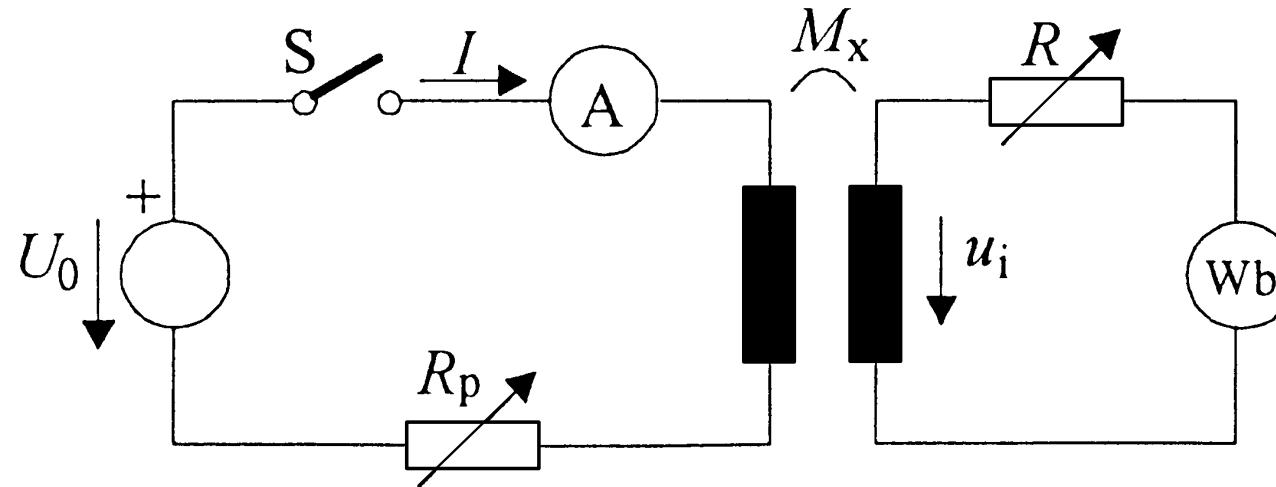
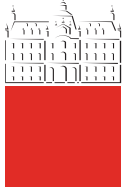
Slika 7.42 Določanje medsebojne induk. z merjenjem dveh induk.

Neposredno merjenje medsebojne induktivnosti



Slika 7.43 Merjenje medsebojne induktivnosti s fluksmetrom

- vezje napajamo z **enosmernim tokom** (primar),
- ker je napetost na sekundarju odvisna le **od spremembe toka**, se **inducira napetost le ob preklopu** stikala.



- napetostni impulz **merimo s fluksmetrom** ($k_F y = \int u_i dt$):

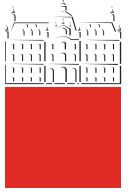
$$u_i = M_x \frac{di}{dt} \Rightarrow \int_{t_1}^{t_2} u_i dt = M_x \int_0^I di \Rightarrow M_x I = k_F y$$

Medsebojna induktivnost je: $M_x = \frac{k_F y}{I}$

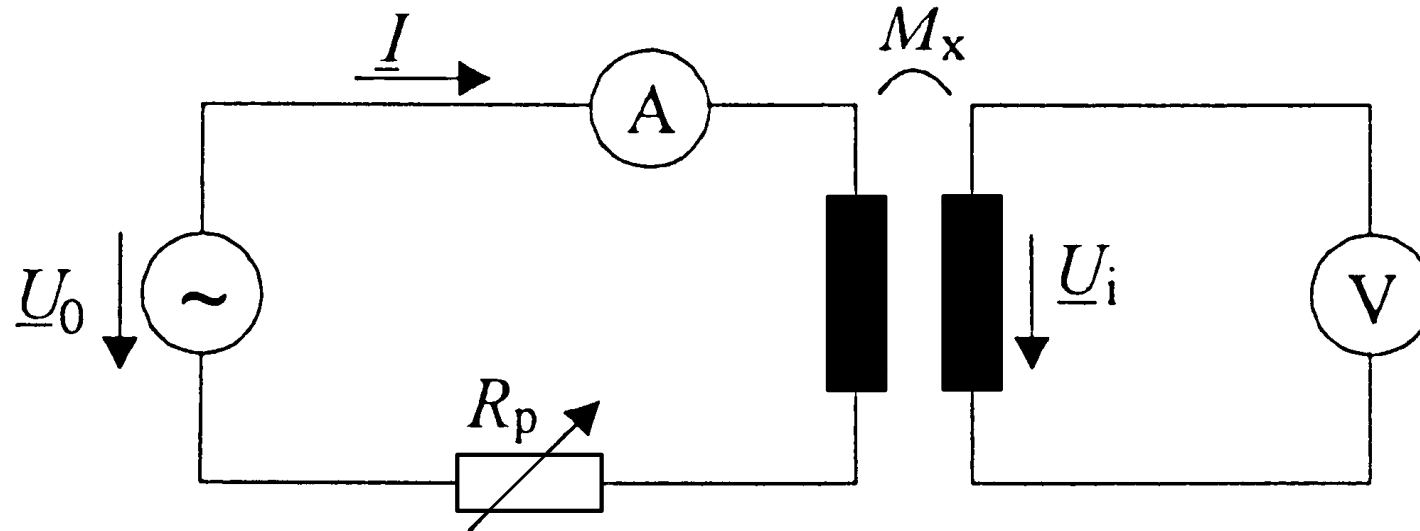
Merilno točnost lahko izboljšamo s substitucijsko metodo:

- uporabljamo **spremenljivi etalon medsebojne induktivnosti**,
- fluksmeter ima **enak odklon**: $M_x \cong M_N$





Merjenje medsebojne ind. s sinusnim signalom



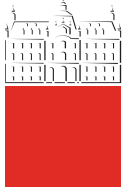
Slika 7.44 Merjenje M_x z ampermetrom in voltmetrom

Inducirana napetost na sekundarni strani pri sinusnem toku:

$$U_i = M_x \frac{d\underline{I}}{dt} = j\omega M_x \underline{I}$$

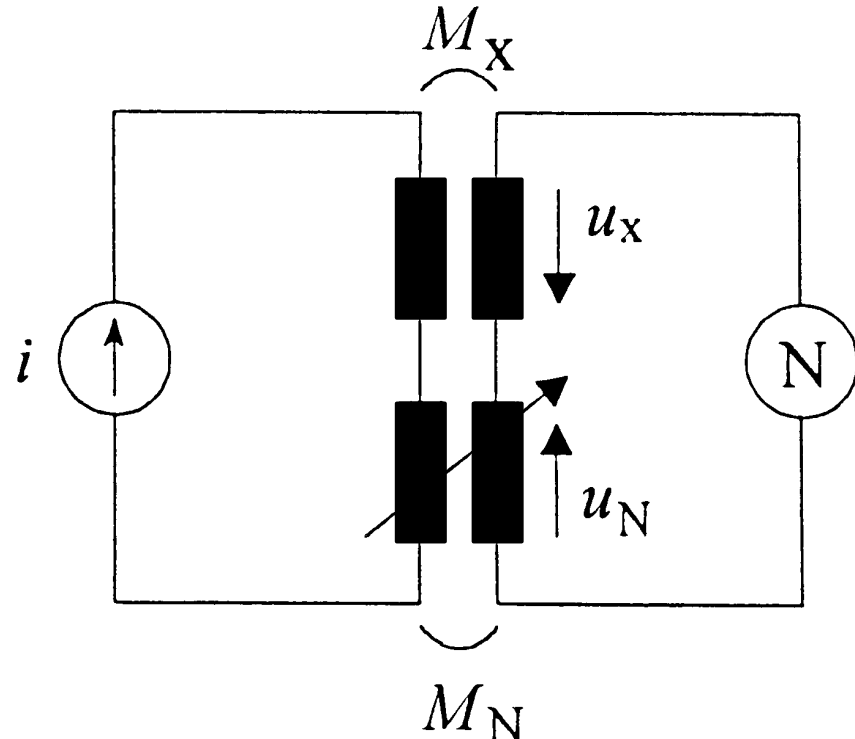
- če je $R_V \gg 1$, je $U_V \approx U_i$ in dobimo: $M_x = \frac{U_V}{\omega I}$





Metoda opozicije

Potrebujemo etalon spremenljive medsebojne induktivnosti.



Slika 7.45 Metoda opozicije

Skozi primarni navitji teče
isti izmenični tok,

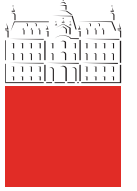
- ni nujno sinusne oblike!

Na sekundarnih straneh se
inducirata napetosti:

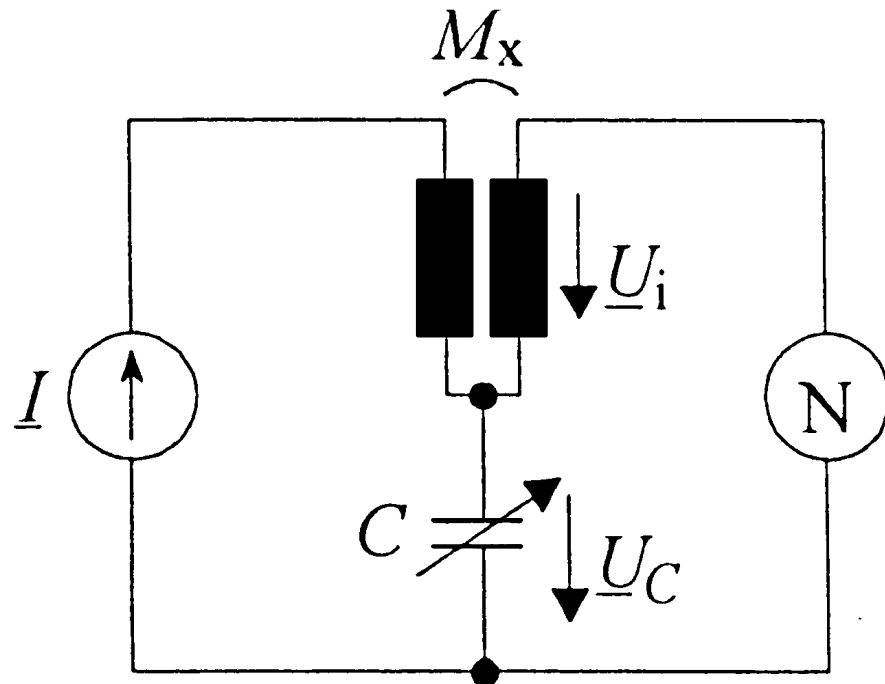
$$u_x = M_x \frac{di}{dt}, \quad u_N = M_N \frac{di}{dt}$$

- če sekundarja vežemo v **protistik** in je ničelni indikator **brez odklona**: $M_x = M_N$





Campbellovo vezje

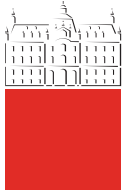


Slika 7.46 Campbellovo vezje

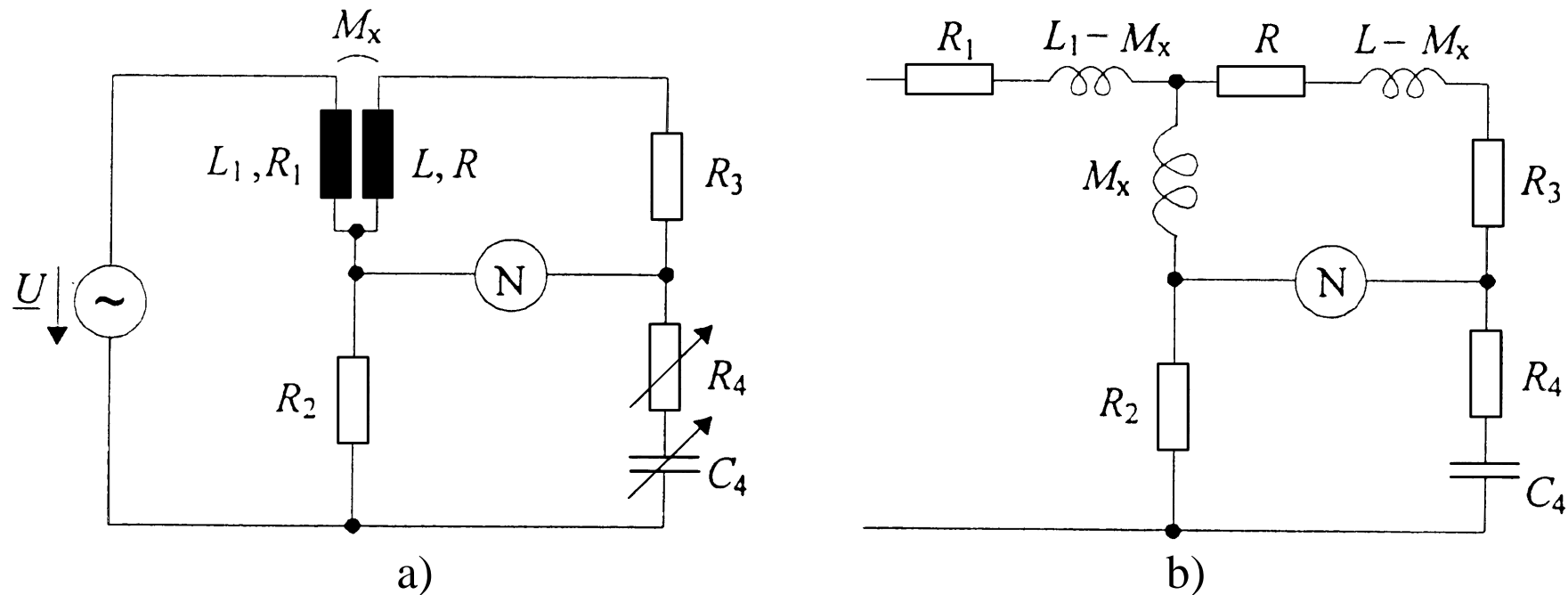
Če se napetosti odštevata in je ničelni indikator brez odklona, imamo: $j\omega M_x I + I \frac{1}{j\omega C} = 0$

- medsebojna induktivnost: $M_x = \frac{1}{\omega^2 C}$





Carey-Fosterjev mostič



Slika 7.47 Carey-Fosterjev mostič in nadomestno vezje

Če nadomestimo magnetno sklopljeni tuljavi z ekvivalentnim **T-vezjem**, dobimo **izmenični Wheatstonov mostič**:

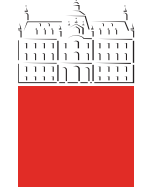
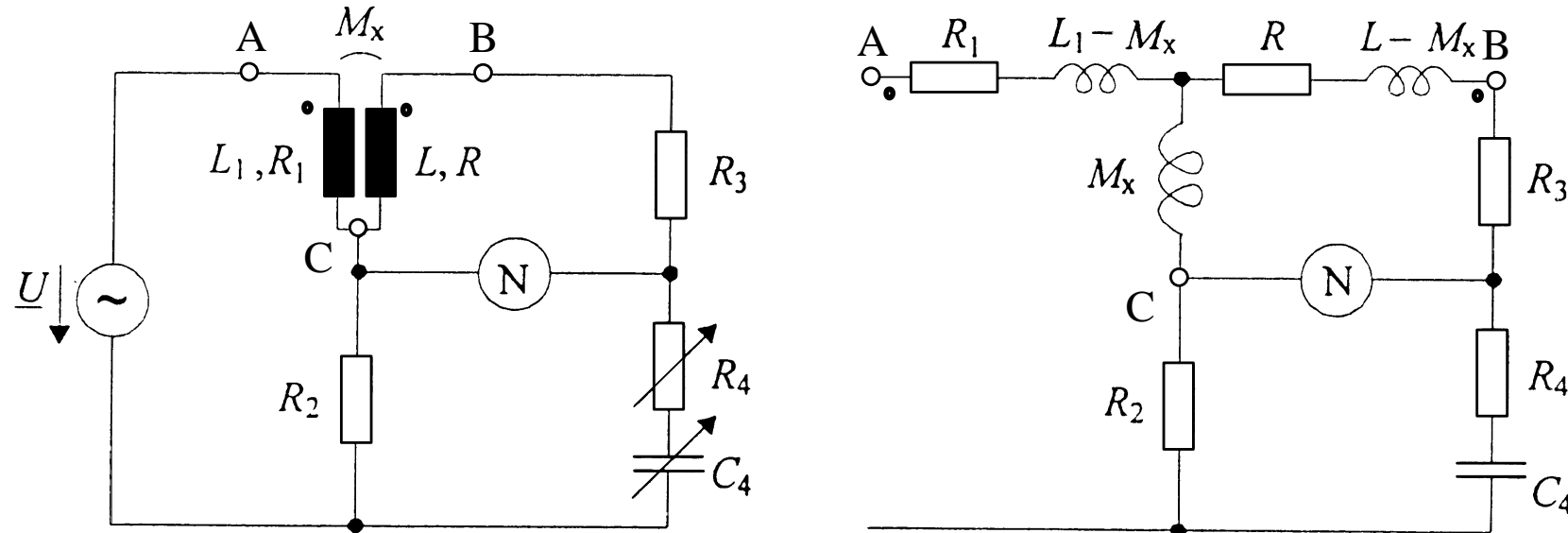
$$Z_1 = j\omega M_x, \quad Z_3 = (R + R_3) + j\omega(L - M_x)$$

$$Z_2 = R_2, \quad Z_4 = R_4 + 1/j\omega C_4$$

- iz ravnovesne enačbe dobimo:

$$M_x = R_2(R + R_3)C_4, \quad L = (R + R_3)(R_2 + R_4)C_4$$





Magnetna pretoka si **nasprotujeta** ($-M$):

$$1. \text{Med točkama A-B : } L_{AB} = L_1 + L - 2M_x$$

$$L_A = L_1 - M_x, \quad L_B = L - M_x$$

$$2. \text{Med točkama A-C: } L_A = L_1 - M_x, \quad L_{AC} = L_1$$

$$\Rightarrow L_C = L_{AC} - L_A = M_x$$

Induktivnost sekundarne tuljave L je večja od medsebojne induktivnosti $M_x \leq L$. Dokaz:

- **kota v nasprotnih vejah** sta: $\varphi_1 = +90^\circ, \quad -90^\circ \leq \varphi_4 \leq 0^\circ$

- ker je $\varphi_1 + \varphi_4 \geq 0^\circ$ in $\varphi_2 = 0^\circ$, bo tudi:

$$\varphi_2 + \varphi_3 \geq 0^\circ - \text{samo pri } (L - M_x) > 0$$

